

دو کفه‌ایهای رودیست (خانواده رکوئینیده) در رسوبات کرتاسه پیشین جنوب غرب قاین، شرق ایران؛ مطالعه ارتباط دیرینه زیست جغرافیایی آنها

احمدرضا خزاعی^{۱*}، سید ناصر رفیس السادات^۱، شهرام اسدی^۲

۱- استادیار گروه زمین شناسی، دانشکده علوم، دانشگاه بیرجند، بیرجند، ایران

۲- دانشجوی کارشناسی ارشد، دانشگاه پیام نور مرکز بیرجند، بیرجند، ایران

*پست الکترونیک: arkhazaei@birjand.ac.ir

تاریخ پذیرش: ۸۹/۹/۴

تاریخ دریافت: ۸۹/۲/۱۹

چکیده

به منظور مطالعه رودیستهای کرتاسه پیشین در شرق ایران، برşی از رسوبات این دوره در جنوب غرب قاین انتخاب و اندازه‌گیری شده است. ضخامت برش مورد مطالعه ۸۱ متر می‌باشد. توالی سنگی اندازه‌گیری شده شامل کنگلومرا، ماسه سنگ و سنگ آهکهای توده‌ای محتوی سنگواره‌های فراوان دو کفه‌ایهای رودیست، شکم‌بایان و اوربیتولینا می‌باشد. مطالعه سیستماتیک نمونه‌های رودیست به شناسایی ۲ جنس و ۴ گونه شامل رودیست مورد مطالعه، گونه‌های اوربیتولینای گزارش شده و موقعیت چینه شناسی واحدها، سن آپتین پسین برای این برش پیشنهاد می‌شود. گونه‌های شناسایی شده در این منطقه با انواع گزارش شده در قلمرو تیس به ویژه حاشیه شمالی آن قابل مقایسه بوده و نشان از ارتباط فونی بین این نواحی دارد.

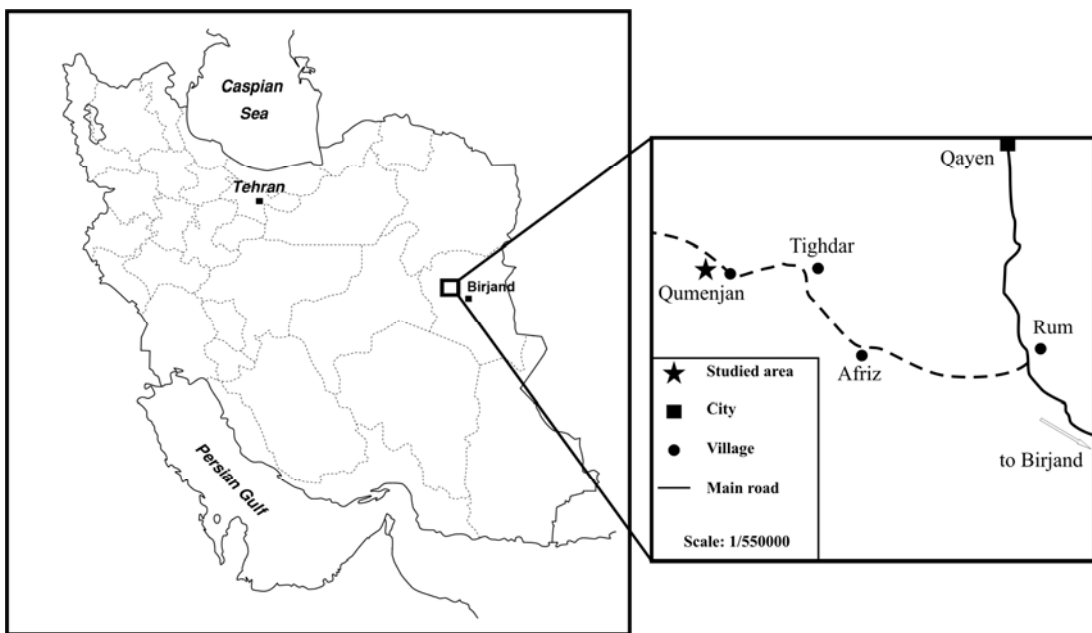
واژه‌های کلیدی: رودیست، آپتین، دیرینه زیست جغرافیا، قاین، شرق ایران.

مقدمه

جغرافیایی ۵۸ درجه و ۵۱ دقیقه شرقی و عرض جغرافیایی ۳۳ درجه و ۳۳ دقیقه شمالی واقع گردیده است (شکل ۲) و متشکل از توالی رسوبی از کنگلومرای پلی ژنتیک، ماسه سنگ، سنگ آهک توده‌ای محتوی قطعات بزرگ رودیست، مارن و شیل می‌باشد.

هر چند وضعیت این توالی به لحاظ لیتولوژی، موقعیت چینه شناسی و مرزین واحدهای سنگی روشن به نظر می‌رسد مطالعه و تقسیمات سنگ چینه‌ای (به عنوان سازند)

منطقه مورد مطالعه در شرق بلوک لوت قرار دارد که در شرح نقشه چهارگوش ۱/۲۵۰۰۰ قاین از آن تحت عنوان ساب بلوک قومنجان نام برده شده است (فاولت و افتخارتزاد، ۱۹۹۰). به منظور مطالعه چینه شناسی و بررسی دو کفه‌ایهای رودیست، برشی مناسب از نهشته‌های کرتاسه پیشین در این منطقه انتخاب گردید (شکل ۱). برش مورد مطالعه به ضخامت ۸۱ متر در ۳۵ کیلومتری جنوب غرب شهرستان قاین در شمال غرب روستای قومنجان به طول



شکل ۱: موقعیت جغرافیایی و راههای دسترسی به منطقه مورد مطالعه

تاكسونهای این خانواده و بررسی نحوه ارتباط فونای این حوضه با سایر حوضه‌های زیر مجموعه تیس در کرتاسه پیشین هدف این پژوهش قرار گرفته است.

چیزه شناسی برش مورد مطالعه

برش مورد مطالعه ۸۱ متر ضخامت دارد که به دو بخش آواری و کربناته قابل تفکیک است (شکل ۳). بخش آواری پایینی شامل طبقات زیر است:

۱- تناوبی از ماسه سنگ با ساختار لایه‌ای و کنگلومرا به ضخامت ۱۴ متر.

۲- ماسه سنگ متوسط تا نازک لایه به رنگ خاکستری متمایل به سبز به ضخامت ۱۰ متر.

بخش کربناته بالایی نیز دربردارنده واحدهای سنگی زیر است:

۱- سنگ آهک بلورین ضخیم لایه و حاوی سنگواره رودیست به ضخامت ۲۵ متر (واحد A).

۲- سنگ آهک با لایه بندی متوسط به رنگ زرد کم رنگ دارای سنگواره شکم پایان و جلبک به ضخامت ۸ متر.

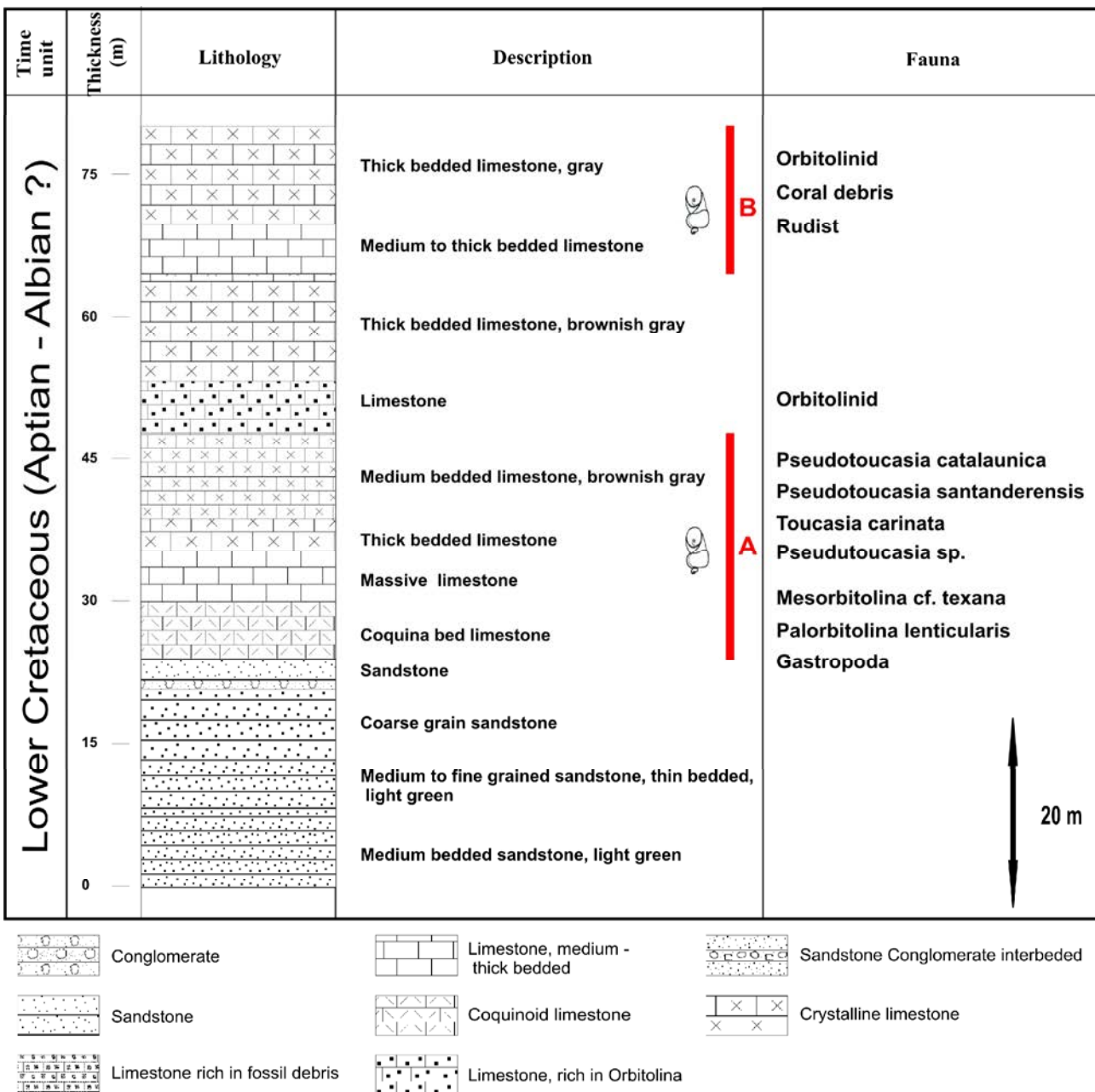


شکل ۲: نمایش موقعیت لایه سنگ آهکی حاوی رودیست در برش مورد مطالعه (دید به سمت شمال)

بر روی آن تاکون صورت نپذیرفته است. از مطالعات انجام شده قبلی بر روی سنگواره‌های رودیست در این منطقه می‌توان به گزارش اولیه حضور این گروه از دوگهای ریس اسکلتون و همکاران (۲۰۰۵) و رئیس‌السادات و اسکلتون (۲۰۰۵) اشاره کرد. در این گزارشها بر وجود فونای غنی از خانواده Requieniidae تاکید شده است. با توجه به نقش این گروه از رودیستها در مطالعات چینه نگاری زیستی و جغرافیای زیستی دیرینه، مطالعه دقیق

۴- سنگ آهک رودیست دار به شکل توده‌ای به رنگ خاکستری تیره و حاوی رودیست و خرده‌های دوکفه‌ای به ضخامت ۱۵ متر (واحد B).

۳- سنگ آهک اربیتولین دار به شکل توده‌ای به رنگ خاکستری تیره حاوی انواع سنگواره شکم پایان، خردمه‌های دوکفه‌ای رودیست، خارپوست و بازوپایان به ضخامت ۹ متر.



شکل ۳: ستون چینه نگاری سنگی برش قومنجان و موقعیت لایه‌های حاوی رودیست

گرفته‌اند. از این واحد تعداد ۲۵ نمونه فسیلی جمع‌آوری و مورد آماده سازی و تهیه برشهای ماکروسکوپی قرار گرفتند. اندازه‌گیری مورفومتریک انجام شده بر روی این نمونه‌ها

روش تحقیق
نمونه‌های رودیست شناسایی شده از واحد رسوبی به ضخامت ۲۵ متر (واحد A) انتخاب و مورد مطالعه قرار

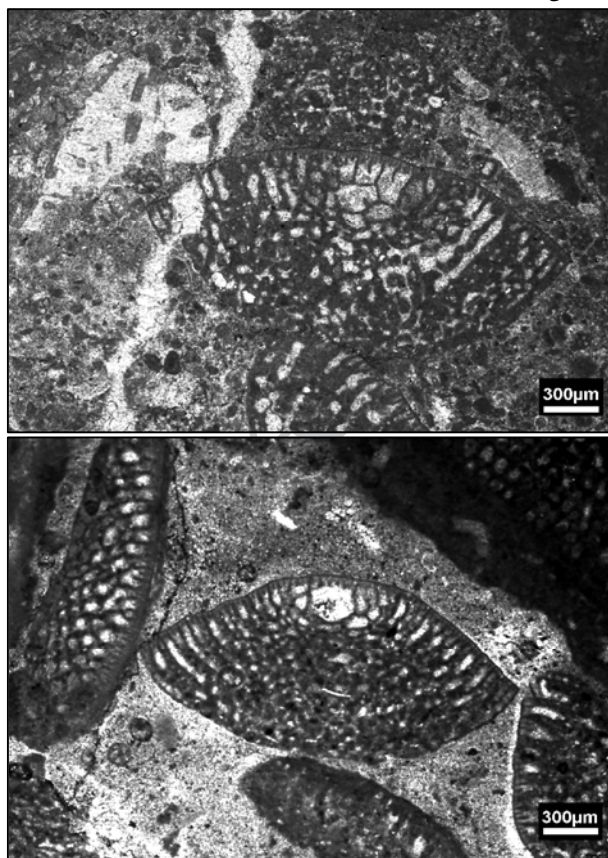
بحث

معرفی فونا و سن

براساس مطالعه نمونه‌های موجود و بررسی ساختمان داخلی برشهای تهیه شده، فونای رودیستی مورد مطالعه متعلق به خانواده Requieniidae و شامل چهار گونه *Pseudotoucasia santanderensis*, *Toucasia carinata*, *Pseudotoucasia catalaunica* و *Pseudotoucasia* sp. می‌باشد. بر اساس مقایسه این مجموعه فسیلی با نمونه‌های گزارش شده از کشورهای همچوار، جنوب اروپا و شمال افریقا سن لایه حاوی این رودیستها در برش مورد مطالعه آپتین پسین پیشنهاد می‌گردد.

بررسی برشهای نازک میکروسکوپی تهیه شده از این برش همچنین به شناسایی دو گونه از اوربیتولینهای شامل *Palorbitolina lenticularis* و *Mesorbitolina* cf. *texana*

(شکل ۵) منجر گردید.



شکل ۵: گونه *Mesorbitolina* cf. *texana* (تصویر سمت بالا) و گونه

Palorbitolina lenticularis (تصویر سمت پایین)

نشان می‌دهد قطر متوسط آنها ۲۰ سانتی‌متر و ارتفاع پیچش دو کفه به طور متوسط بین ۷ تا ۱۰ سانتی‌متر است. در بسیاری از نمونه‌ها کفه راست (کفه آزاد) به کلی از بین رفته اما کفه چپ (کفه متصل به بستر) در تمام نمونه‌ها سالم باقی مانده که قابل توجه است (شکل ۴). از تعداد ۲۵ نمونه برداشت شده ۸ نمونه جهت تهیه برش صیقلی و مطالعه ساختمان داخلی انتخاب گردیدند. برشهای تهیه شده عمدتاً از نوع طولی است به طوری که سطح اتصال دو کفه را قطع کرده و عمود بر صفحه کمیش است. در این مطالعه شکل اثرات میوفور پشتی و موقعیت آنها نسبت به یکدیگر و نیز ساختمان و جنس پوسته داخلی و خارجی صدفها برای شناسایی تاکسونها در سطح جنس و گونه مورد بررسی قرار گرفته است. نمونه‌های مورد بررسی در آزمایشگاه دیرینه شناسی دانشگاه بیرجند نگهداری می‌شوند.



شکل ۴: نمونه‌هایی از دوکفه‌ایهای رودیست در موقعیت اولیه رشد درون لایه

صفد از نوع تروکوئیدال است و با کفه چپ به رسوبات متصل بوده‌اند. جنس دیواره خارجی صدف از کلستیت فشرده و ضخامت آن عموماً بیش از ۱ میلی‌متر و دیواره داخلی آراگونیتی است که در برشهای تهیه شده به خوبی قابل مشاهده است. صفحات میوفورال پشتی در هر دو کفه وجود دارد.

***Toucasia carinata* (Matheron, 1842)**

Plate 2, figs. 1a-1c

- 1842 *Requienia carinata*, Math.; Matheron, p. 176, pl. 2, figs. 1-2
 1976 *Toucasia carinata* (Matheron); Chahida & Djafarian, p. 300-301, fig. 4
 1984 *Toucasia cf. carinata* Matheron; Masse et al., p. 724
 1992 *Toucasia carinata* Matheron; Czabalay, p. 275, 277, pl. 1, figs. 3,6, pl. 3, figs. 1-2,6
 1995 *Toucasia carinata* Matheron; Masse, p. 242, 246-247, pl. 2, fig. 5
 1998(a) *Toucasia carinata* (Matheron); Masse et al., p. 196, text figs. 3, 4/3
 1998(a) *Toucasia cf. carinata* (Matheron); Masse et al., p. 200
 1998 *Toucasia carinata* Matheron; Laviano et al., p. 175
 2000 *Toucasia carinata* (Matheron); Skelton & Smith, p. 107, 122
 2010 *Toucasia carinata* (Matheron); Masse et al., p. 673
 2010 *Toucasia carinata* (Matheron); Scott et al., p. 461

توصیف: در گونه *Toucasia carinata* (Matheron, 1842) اثرات میوفور پشتی غالباً مقطع مثلثی دارند و به لبه کمی‌شیر نزدیکند. این گونه شباهت زیادی به گونه *T. seunesi* دارد (ماسه و همکاران، ۲۰۱۰) (شکل ۶).

گسترش زمانی و مکانی: هوتروین - تورونین تبت، آپتین پیشین الجزایر، آپتین پیشین بوسنی، آپتین پیشین بلغارستان، سنومانین پسین مصر، آپتین پیشین فرانسه، آلبین معجارستان، بارمین - آپتین ایتالیا، آپتین پیشین رومانی، آپتین اسپانیا، آپتین تونس، آپتین پیشین ترکیه، آپتین پیشین یوگسلاوی، آپتین پرتغال، آپتین ژاپن و آپتین ایران مرکزی (انارک).

گونه‌های گزارش شده از این برش توسط بابازاده و همکاران (۱۳۸۸) شامل *Mesorbitolina parvataxana* و *Conicorbitolina cuvillieri* و *Palorbitolinoides hedini* نیز این سن را تأیید می‌کند.

دیرینه شناسی سیستماتیک (Systematic Paleontology)

خانواده رکوئینیده (REQUIENIIDAE (Douville, 1914))

مشخصات کلی این خانواده به این شرح است:

دو کفه صدف در بیشتر انواع آن نابرابر است. شکل صدف پیچیده و از هلی کوئیدال تا تروکوئیدال متغیر است، لایه خارجی صدف نسبتاً ضخیم (بیش از یک میلی‌متر و در برخی جنسها تا چندین میلی‌متر) است. عموماً با کفه چپ که شکل پیچیده داشته و همواره بزرگتر از کفه راست (در پوش مانند) می‌باشد به سطح بستر می‌چسبیده‌اند. واحد یک دندان منفرد در کفه چپ و دو دندان در کفه راست از دندان دندان پشتی کفه راست عموماً رشد بیشتری از دندان جلویی دارد. در بعضی فرمها یک صفحه میوفورال (Myophoral plate) عقبی در زیر پلاتفرم لولای (Cardinal platform) خانواده بر اساس اندازه نسبی دندانها و بر اساس شکل و موقعیت اتصال ماهیچه پشتی از یکدیگر مشخص می‌شوند. محدوده سنی این خانواده ژوراسیک پسین (تیتوین) تا کرتاسه پسین (ماستریشتن) می‌باشد (سستاری و سارتوریو، ۱۹۵۵). ویژگی‌های تاکسونومیکی جنس‌های وابسته به این گروه و محدوده چینه‌شناسی گسترش و شکوفایی آنها اخیراً با تاکید بر نمونه‌های منطقه تبت مورد بازبینی قرار گرفته است (اسکات و همکاران، ۲۰۱۰).

Genus *Toucasia* Munier-Chalmas, 1873
 Type species *Requienia carinata* Matheron, 1842
 در این جنس کفه‌ها عموماً دارای زهوار (keel) هستند و خطوط رشد در برخی نمونه‌ها کاملاً مشخص است. پیچش

گسترش زمانی و مکانی: آپتین پسین فرانسه، آلبین مجارستان، آلبین پسین پرتغال، آپتین پسین اسپانیا و آپتین پسین الجزایر.

Pseudotoucasia catalaunica (Astre, 1932)

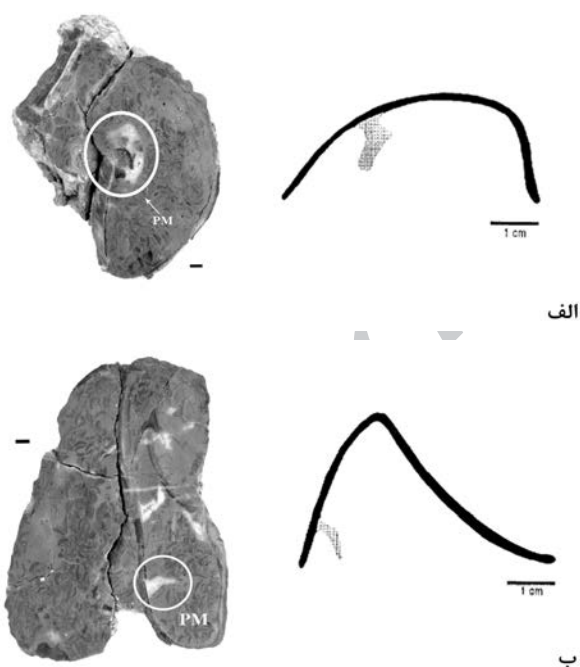
Plate 1, fig. 3, Plate 3, figs. 1a-1b

1932 *Pseudotoucasia catalaunica*; Astre, p. 46, pl. 1, fig. 1, text figs. 2,3

1998(a) *Pseudotoucasia cf. catalaunica* Astre; Masse et al., p. 200, text fig. 7

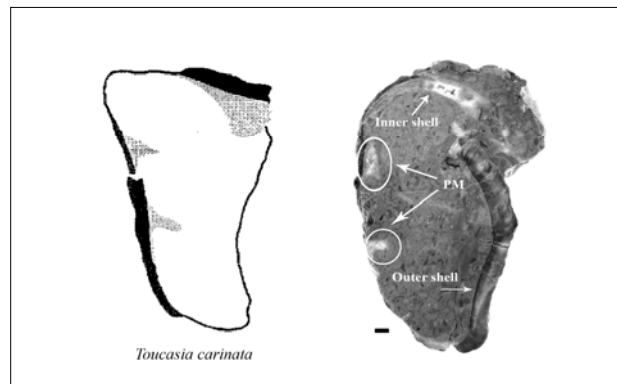
2010 *Pseudotoucasia catalaunica* Astre; Masse et al., p. 674, text fig. 3

توصیف: در تصویر صفحات شماره ۱ و ۳ اثرات میوفور پشتی به خوبی قابل مشاهده است و شکل نازک و نوک تیز دارد. حاشیه کفه راست غالباً دارای زهوار است که با ویژگی‌های معرفی شده برای گونه *Pseudotoucasia catalaunica* مطابقت داشته و سن برش را در این بخش آپتین پسین نشان می‌دهد (شکل ۷ ب).



شکل ۷: شکل و موقعیت اثرات میوفور (PM) در گونه *Pseudotoucasia santanderensis* (الف) و گونه *Pseudotoucasia catalaunica* (ب). تصاویر سمت چپ برش نمونه مورد مطالعه و سمت راست برگرفته از مالخوس (۱۹۹۸)

گسترش زمانی و مکانی: آپتین پسین اسپانیا، آپتین پسین الجزایر، آپتین پسین ترکیه، آپتین فرانسه و آپتین پرتغال.



شکل ۶: شکل و موقعیت اثرات میوفور پسین (PM) در گونه *Toucasia carinata* در گونه مورد مطالعه و سمت چپ برگرفته از مالخوس (۱۹۹۸)

Genus *Pseudotoucasia* Douville, 1911

Type species *Toucasia santanderensis* Douville, 1889

محل اتصال ماهیچه پشتی در کفه راست (آزاد) به صورت صفحه قرار گرفته و به موازات سطح دیواره صدف و متصل به دیواره آن است. دندان بندی شیوه جنس *Toucasia* است. لولا از نوع Diceras اما دندانها در کفه چپ کمتر رشد کرده‌اند و حفره جلویی کفه چپ کم عمیق‌تر از Diceras است.

Pseudotoucasia santanderensis (Douville, 1889)

Plate 3, fig. 2

1889 *Toucasia santanderensis*?; Douville, p. 632, text figs. 4-5

1995 *Pseudotoucasia santanderensis* (Douville); Masse, pl. 6, fig. 2

1995 *Pseudotoucasia cf. santanderensis* (Douville); Masse, p. 249

1998 *Pseudotoucasia santanderensis* (Douville); Masse et al., p. 201, text-fig. 8

توصیف: در برش‌های تهیه شده اثرات میوفور پشتی (Posterior myophore) به خوبی قابل مشاهده است که در شکل شماره ۲ از تصویر صفحه شماره ۳ شکل نامنظم و خمیده داشته و کفه راست در حاشیه از حالت زهوار به حالت محدب نزدیک می‌شود که با نمونه‌های توصیف شده به عنوان گونه *Pseudotoucasia santanderensis* مطابقت داشته و سن برش را در این بخش آپتین پسین نشان می‌دهد (شکل ۷ الف).

(۱۹۵۲) به نقل از پایگاه www.paleotax.de، پرتغال (ری، ۱۹۷۲)، فرانسه (ماسه، ۱۹۹۶)، اسپانیا (مالخوس، ۱۹۹۸؛ ماشه و همکاران، ۱۹۹۸a) و ترکیه (ماسه و همکاران، ۲۰۰۲؛ ماشه، ۲۰۱۰) مطابقت دارد.

گونه گزارش شده *Toucasia carinata* نیز با انواع شناخته شده‌ای از بلغارستان (پاکویر، ۱۹۰۵)، تونس (دومر گیو و همکاران، ۱۹۵۲)، الجزایر (فیلرت، ۱۹۵۲؛ چیخی - آویمور، ۱۹۸۳)، پرتغال (ری، ۱۹۷۲ و ۱۹۷۹)، ژاپن (هایامی، ۱۹۷۵)، صربستان (ژانکیسویک، ۱۹۷۹)، مصر (بارتوف و همکاران، ۱۹۸۰)، بوسنی (ماسه و همکاران، ۱۹۸۴)، مجارستان (چابالای، ۱۹۸۵)، رومانی (لوپو، ۱۹۹۲)، اسپانیا (ماسه و همکاران، ۱۹۹۸a)، ایتالیا (ماسه و همکاران، ۱۹۹۸b)، فرانسه (ماسه و همکاران، ۱۹۹۸c)، ترکیه (ماسه و همکاران، ۱۹۹۹) و بت (اسکات و همکاران، ۲۰۱۰) قابل مقایسه است. این گونه همچنین با نمونه ثبت شده از منطقه انارک در ایران مرکزی توسط شهیدا و جعفریان (۱۹۷۶) دارای مشابهت کاملاً آشکاری است که نشان از ارتباط این حوضه‌ها در محدوده ایران مرکزی دارد.

توجه به توزیع جغرافیایی کنونی مناطق مورد اشاره در شکل ۶ می‌تواند به درکی روشن‌تر از مزهای محدوده زیستی - جغرافیایی گونه‌های رودیست مورد مطالعه در قلمرو تیس کمک کند. در این خصوص می‌توان به ویژه به ارتباط فونی قوی و پیوسته با مجموعه‌های ثبت شده در حاشیه شمالی تیس اشاره کرد.

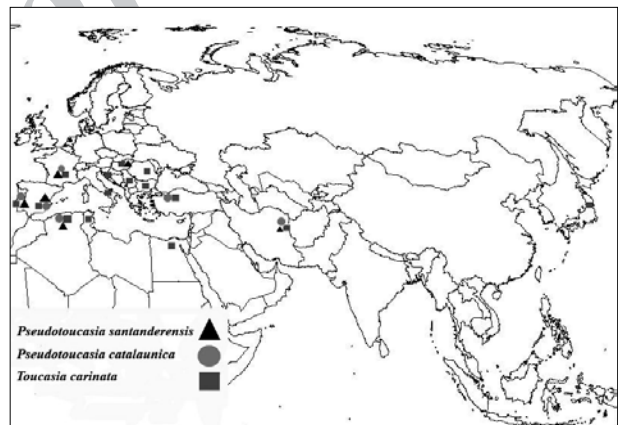
رسوبات و خسarde اور گونین

منطقه مورد مطالعه در شرق ایران و در حاشیه بلوک لوت از زون ساختاری ایران مرکزی واقع شده است. بر اساس شواهد موجود در اوایل کرتاسه، ایران مرکزی در حاشیه شمالی تیس مجموعه‌ای از قطعات کوچک قاره‌ای بوده که بین آنها را باریکه‌هایی از حوضه نتوتیس فرا می‌گرفته است.

نحوه ارتباط فونی و جغرافیایی زیستی دیرینه

رودیستها دو کفه‌ایهای نامتقارنی بوده‌اند که از انتهای ژوراسیک تا انتهای کرتاسه در حاشیه اقیانوس تیس و نواحی مجاور آن زندگی می‌کرده‌اند. این موجودات کف زی در محیط‌های رسوبی پلاتفرم کربناته رشد کرده و از اجزای مهم در توالی رسوبی کرتاسه به شمار می‌آیند. در مورد پراکندگی رودیستها می‌توان به دو حوضه دیرینه زیست جغرافیایی اصلی آنها در اقیانوس تیس و حوضه کارائیب اشاره کرد (سستاری و سارتوریو، ۱۹۹۵).

وضعیت پراکندگی جغرافیایی گونه‌های گزارش شده در این تحقیق در شکل ۸ نمایش داده شده است. بر اساس اطلاعات ارائه شده در این نقشه فونای رودیستی موجود از خانواده Requieniidae (Douville 1914) در دو سوی اقیانوس تیس تا حد گونه‌های مشترک یافت می‌شوند.



شکل ۶: نقشه پراکندگی زیست جغرافیایی گونه‌های معروفی شده (بر گرفته از تارنمای www.paleodb.org با تغییرات مختصر)

گونه *Pseudotoucasia santanderensis* گزارش شده از شرق ایران با انواع شناخته شده از مناطق حاشیه مدیترانه‌ای تیس از جمله الجزایر (فیلرت، ۱۹۰۰ و ۱۹۵۲)، پرتغال (ری، ۱۹۷۷)، مجارستان (چابالا، ۱۹۸۵)، فرانسه (ماسه، ۱۹۹۶) و اسپانیا (ماسه و همکاران، ۱۹۹۶ و ۱۹۹۸a) تا حدود زیادی مطابقت دارد.

همچنین گونه *Pseudotoucasia catalaunica* که در این تحقیق معروفی شده با گونه‌های مشابه از الجزایر (فیلرت

سیدامامی، ۱۳۷۵). در کنار رودیستها، اوربیتولینیدا و جلکهای آهکی، گروههایی همچون میلیولیدها، مرجانها، اسفنجها (گروه Chaetetids)، برویزوئرها، شکم پایان (Nerinea) و دیگر موجودات شرکت کننده در ساختار ریفها نیز در تشکیل این سنگ آهکها شرکت دارند. این رسخاره سنگ آهکی متعلق به دریای گرم و کم عمقی است که تمام مناطق مرکزی ایران و بخشهایی از شمال و جنوب ایران را می‌پوشاند است. اوج گسترش این دریا در مرکز ایران در آشکوهای بارمین تا آپتین پیشین است که با بالا آمدن سطح آب اقیانوسها مطابقت دارد (هک و همکاران، ۱۹۸۷).

نتیجه‌گیری

مطالعه فونای رودیستی در برش قومنجان واقع در جنوب غرب قاین به شناسایی ۴ گونه در قالب ۲ جنس از خانواده *Pseudotoucasia catalaunica* Requieniidae و *Pseudotoucasia* sp. *Pseudotoucasia santanderensis* و *Toucasia carinata* معرفی شده، سن لایه‌های حاوی دوکفهای رودیست در برش مورد مطالعه، آپتین پسین پیشنهاد می‌گردد که نظر به مطالعات قبلی انجام شده بر روی روزن‌داران این واحد، محدوده زمانی مذکور مورد تأیید قرار می‌گیرد. با مقایسه گونه‌های شناسایی شده با انواع مشابه گزارش شده از مناطق آسیا، اروپا و شمال افریقا، ارتباط فونی منطقه مورد مطالعه در کرتاسه پیشین را با بخشی از حاشیه شمال حوضه تیس که از اروپا تا خاور میانه ادامه داشته است، محرز گردیده است. رسخاره مشاهده شده در منطقه مورد مطالعه با توجه به حضور فونای رودیستی در کنار روزن‌داران (اوربیتولینا) مشابه آن با رسخاره اورگونین در سایر مناطق ایران و بقایای تیس را نشان می‌دهد.

طبق بررسیهای به عمل آمده بیشترین بخش ایران مرکزی را در این زمان دریای کم عمقی می‌پوشاند و رسوبات آن تغییرات سریع رخساره‌ای و ضخامت متفاوت ناشی از عدم پایداری حوضه رسوبی را دارا می‌باشد (خسرو تهرانی، ۱۳۷۷).

با توجه به شواهد سنگ شناسی و سنگواره‌های موجود در واحدهای سنگ آهکی منطقه مورد مطالعه می‌توان نشانه‌هایی از تشابه آنها با سنگ آهکهای رودیست - اوربیتولینیدار ایران مرکزی در این زمان را یافت که اغلب به صورت ارتفاعات و سیفعها ظاهر می‌شوند. این واحد در همه جا با گذر تدریجی بر روی ماسه سنگ و کنگلومراهای قاعده کرتاسه میانی قرار داشته و ضخامت آن از چند صد متر تا بیش از هزار متر در جنوب باختり تفت در تغییر است (خسرو تهرانی و وزیری مقدم، ۱۳۷۲). شروع این سنگ آهکها همان طور که سید امامی (۱۳۷۵) برای اولین بار عنوان کرده، در بارمین بوده و متناوباً تا آپتین و در موارد نادر تا آغاز آلین ادامه پیدا کرده است.

بررسی این نهشته‌ها در برخی نقاط ایران نشان می‌دهد که ردیف رسوبی آپتین - سنومانین در این نقاط غالباً از طبقات آواری و کربناته تشکیل شده و بخش اعظم آن رسوبات با یوژنیکی هستند که بر روی سکوهای کربناته (Carbonate platform) گسترده و عریض نهشته شده و می‌توان آنها را مشابه رسخاره اورگونین (Urgonian facies) دانست (سیدامامی، ۱۳۷۵). واژه اورگونین برای اولین بار توسط اورینی (۱۸۴۷) به کار رفته است. امروزه رسخاره اورگونین به سنگ آهکهای نریتیک دارای سنگواره رودیست (بیشتر *Toucasia*) و اوربیتولینیدا (*Orbitolinids*) به سن بارمین و آپتین گفته می‌شود که در بخش وسیعی از شمال اقیانوس تیس از منطقه مدیترانه (جنوب اروپا، شمال افریقا، بالکان و آسیای صغیر) تا ایران و آسیای مرکزی (ترکمنستان و افغانستان) گسترده شده است (پروسورووسکی، ۱۹۹۰؛

تقدیر می شود. همچنین از آقای محمد واله که در تهیه برشها همکاری کردن تشكر و قدردانی می گردد.

سپاس گزاری
شناسایی سنگواره‌های میکروسکوپی با همکاری خانم فاطمه احراری انجام گرفته است که بدین وسیله از خدمات ایشان

Plate 1

1) *Pseudotoucasia* sp.

- (1a) Upper side view and position of right (RV) and left (LV) valves
- (1b) Longitudinal section of right and left valves, and position of posterior myophore (PM)

2) *Pseudotoucasia* sp.

Longitudinal section showing the position of posterior myophore, inner and outer layers of shell

3) *Pseudotoucasia catalaunica* Astre, 1932

Longitudinal section of right and left valves, note the position of posterior myophore

Plate 2

1) *Toucasia carinata* (Matheron, 1842)

- (1a) Anterior side view, contact line between the right and left valves
- (1b) Posterior side view, carina at the peripheral part of the valves
- (1c) Longitudinal section of right and left valves, position of posterior myophore inner and outer shell layers

Plate 3

1) *Pseudotoucasia catalaunica* Astre, 1932

- (1a) Anterior side view, the position of both valves
- (1b) Longitudinal section of right and left valves, showing the shape and position of posterior myophores

2) *Pseudotoucasia santanderensis* (Douville, 1889)

Longitudinal section of right and left valves, position and shape of posterior myophores have been showed

Plate 4

1) *Pseudotoucasia* sp.

- (1a) Anterior side view, position of the right and left valves
- (1b) Posterior side view
- (1c) Longitudinal section of right and left valves, position of posterior myophore

Plate 1

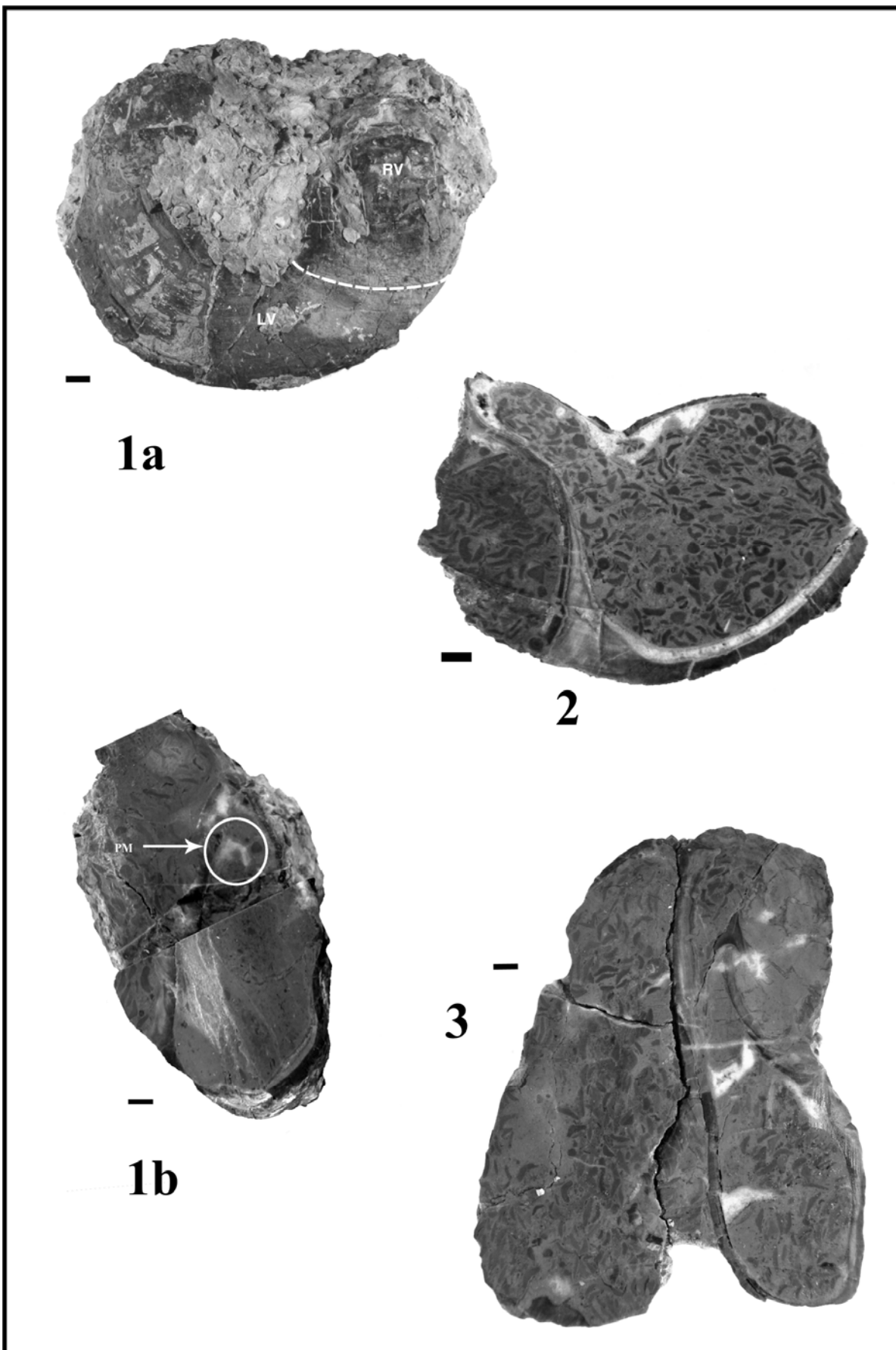


Plate 2

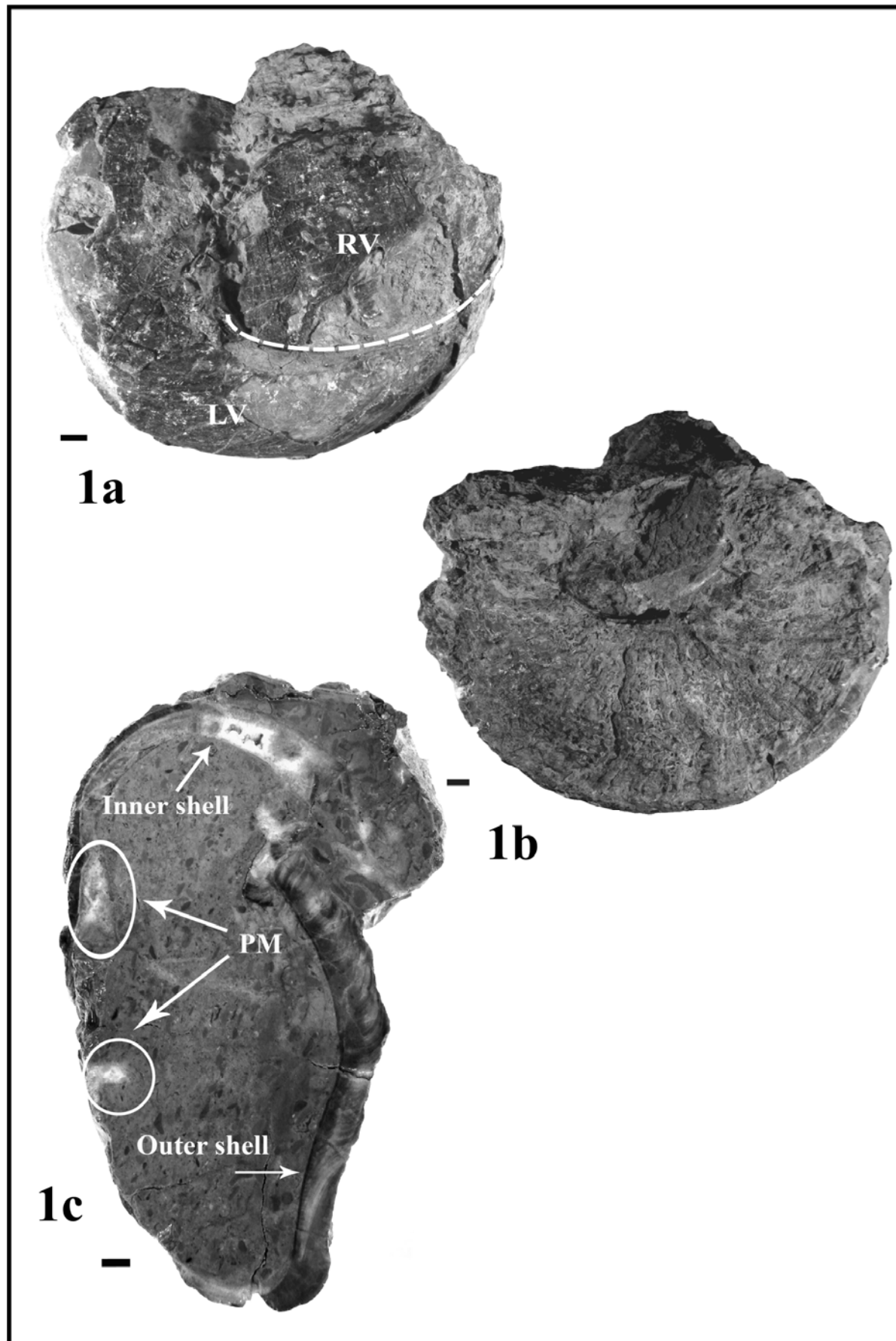


Plate 3

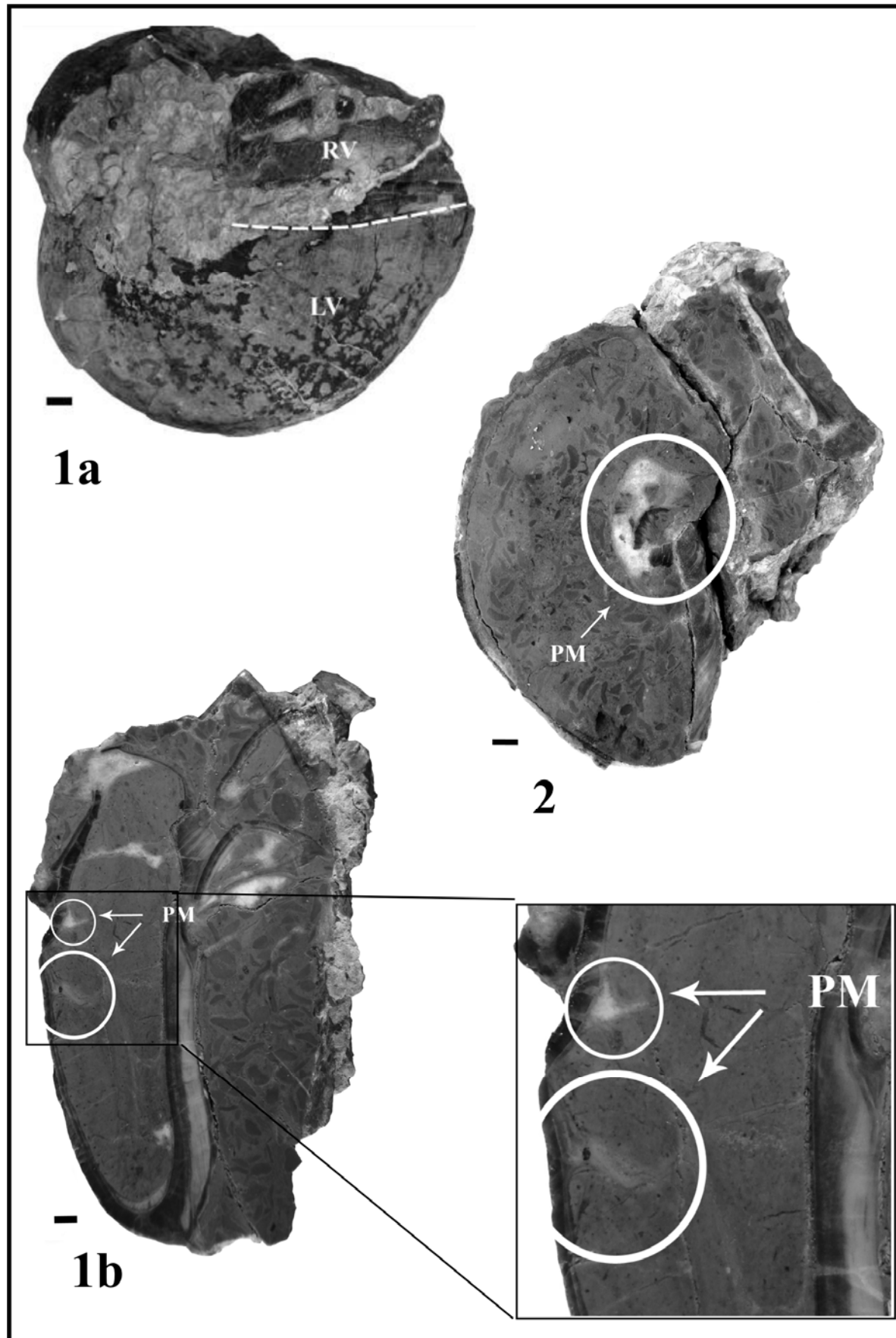
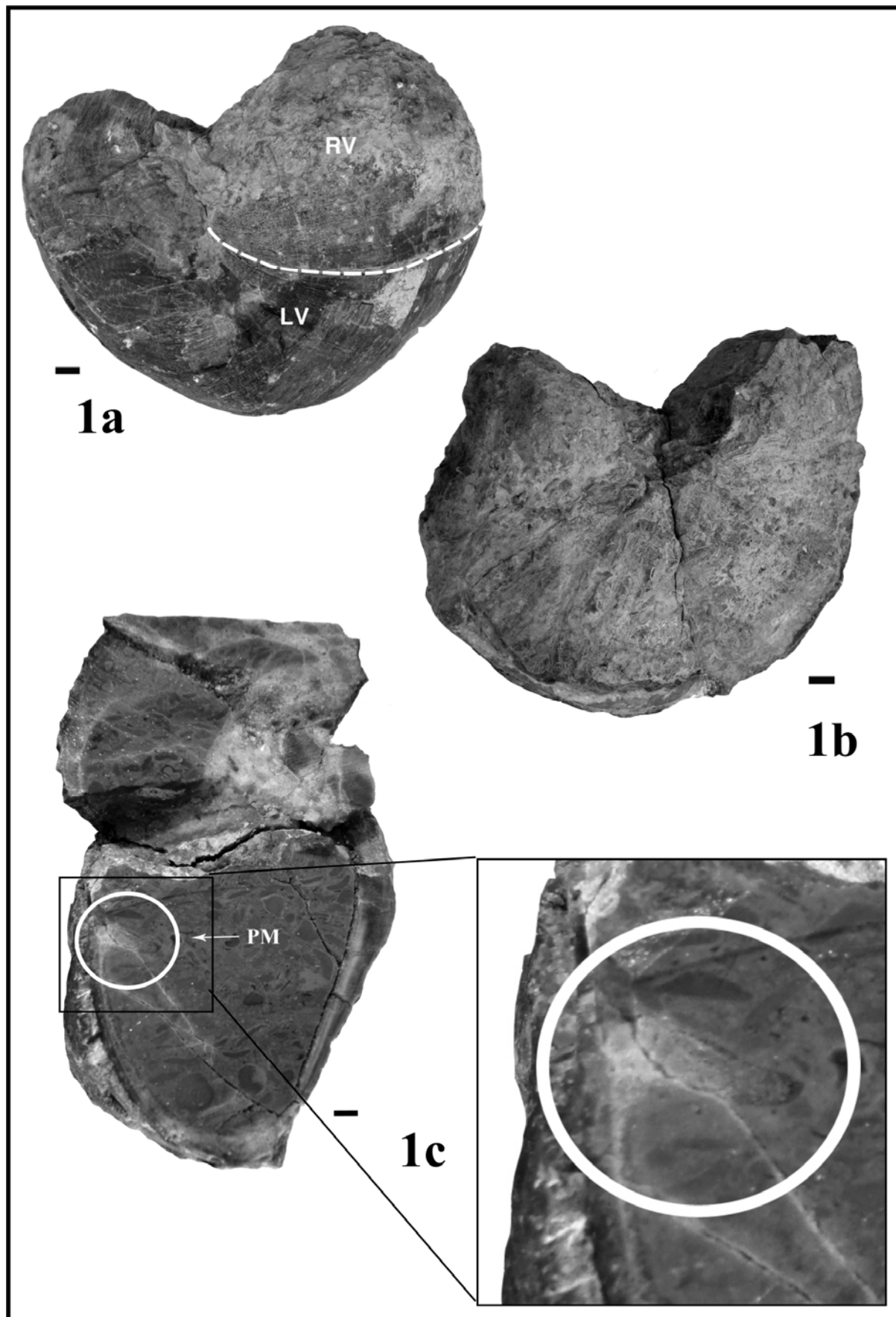


Plate 4



منابع

- بابازاده، س.ا.، رئیس السادات، س.ن.، و احراری، ف.، ۱۳۸۸. یافته‌های جدید در بایواستراتیگرافی اریتولینها در ناحیه قومنجان، جنوب غرب قاین (شرق ایران). سومین همایش تخصصی زمین‌شناسی دانشگاه پیام نور، اصفهان، صص. ۲۳۷-۲۴۰.
- خسرو‌تهرانی، خ.، ۱۳۷۷. زمین‌شناسی ایران. انتشارات پیام نور، ۳۲۷ ص.
- خسرو‌تهرانی، خ.، وزیری مقدم، ح.، ۱۳۷۲. چینه‌شناسی کرتاسه زیرین در نواحی غرب و جنوب غربی یزد. *فصلنامه علوم زمین*، ۷: ۴۵-۲۳۶.
- سیدامامی، ک.، ۱۳۷۵. چینه‌شناسی، دیرینه زیست جغرافیا و دیرینه جغرافیای ردیف سنگی کرتاسه میانی (بارمین - آلبین) در ایران مرکزی. *فصلنامه علوم زمین*، ۲۱: ۵۰-۲۲: ۶۹.
- Astre, G., 1932. Les faunes des Pachydontes de la province Catalane entre Sègre et Fraser. *Bulletin de la Société d'Histoire naturelle de Toulouse*, 64: 31-154.
- Berthiau, A., Christmann, P., Fauvelet, E., Hatrival, J.N., Vaslet, D., & Vahdati Daneshmand, A., 1990. Quadrangle geological map of Qayen, Scale: 1/250000. *Geological Survey of Iran*.
- Blayac, J., 1900. Sur le Crétacé inférieur du bassin de l'Oued Cherf (Algérie). *Travaux du Laboratoire de Géologie de la Faculté des Sciences de l'Université de Grenoble*, 5: 19-27.
- Calzada, S., & Mar Urquiola, M., 1995. Algunos nerineidos del Cretácico de Castellón. *Batalleria (Barcelona)*, 5: 59-63.
- Cestari, R., & Sartorio, D., 1995. Rudists and facies of the Periadriatic domain. *Agip S.p.A.*, Milano, 207 p.
- Chahida, M.R., & Djafarian, M., 1976. Zwei Rudistenvorkommen in der kreide des zentralen Iran. *Aus den Sitzungsberichten der Osterr. Akademie der Wissenschaften Mathem. - naturw. Kl.*, 185/17: 295-306.
- Chikhi-Aouimeur, F., 1983. Etude paléontologique des quelques rudistes de l'Aptien supérieur du Djebel Ouenza (Algérie nord-orientale). *Géologie méditerranéenne*, 10: 33-48.
- Czabalay, L., 1985. Paleoecological, biostratigraphic and paleogeographic analysis of the mollusc fauna of the Zirc Limestone Formation. *Schriftenreihe der Erdwissenschaftlichen Kommissionen, Österreichische Akademie der Wissenschaften*, 7, 119-147.
- Czabalay, L., 1992. Correlation des faunes de pachyodontes de l'Urgonien (Hongrie, Mt. Villany, Mt. Mecsek). *Geologica Romana*, 28: 273-290.
- Domergue, C., Dumon, E., Lapparent, A.F., & Lossel, P., 1952. Sud et extrême-sud tunisiens. *XIXème Congrès géologique international, Monographies régionales*, 7: 38 pp.
- Douillé, H., 1889. Sur quelques rudistes du terrain crétacé inférieur des Pyrénées. *Bulletin de la Société géologique de France*, 17: 627-635.
- Emberger, J., 1954. Note sur la stratigraphie et la paléontologie de l'Aptien de Bordj Oultem, région de Bou Sâada (Dép. d'Alger), Algérie. *Bulletin de la Société Géologique de France*, 4: 145-150.
- Fauvelet, E., & Eftekhar-nezhad, J., 1990. Explanatory text of Qayen, Quadrangle map 1:250,000. *Geological Survey of Iran*, 200 p.
- Fenerci-Masse, M., Masse, J.P., Arias, C., & Vilas, L., 2006. Archaeoradiolites, a new genus from the upper Aptian of the Mediterranean region and the origin of the rudist family Radiolitidae. *Palaeontology*, 49: 769-794.
- Fliert, J. van de, 1952. Liste de rudistes du Crétacé du Constantinois. *XIXème Congrès géologique international, Monographies régionales*, 1, 13, 47-52.
- Haq, B.U., Hardenbol, J., & Vail, P.R., 1987. Chronology of fluctuating sea levels since the Triassic. *Science*, 235: 1156-1167.
- Hayami, I., 1975. A systematic survey of the Mesozoic Bivalvia from Japan. *The University of Tokyo Bulletin*, 10.
- Hughes, G.W., 1998. Middle East Aptian rudist-foraminiferal-algal associations and their possible modern Persian Gulf analogue. *Geobios*, 22: 147-158.

- Jankicevic, J., 1979. The Urgonian of the middle part of the Yugoslavian Carpatho-Balkanid area (East Serbia). *Geobios, Memoire Special*, 3: 177-182.
- Kemper, E., 1987. Das Klima der Kreide-Zeit. *Geological Journal*, 96: 5-185.
- Laviano, A., Sirna, G., & Facchini, G., 1998. Rudist facies distribution in the central,-Southern Apennines and Apulia, Italy. *Geobios*, 22: 169-180.
- Lupu, D., 1992. Les faciès' rudistes du Cénomanien de Hateg (Carpathes meridionales, Roumanie). *Geologica Romana*, 28: 351-358.
- Malchus, N., 1998. Aptian (Lower Cretaceous) rudist bivalves from NE Spain: Taxonomic problems and preliminary results. *Geobios, Memoire Special*, 22: 181-191.
- Malchus, N., Pons, J.M., & Salas, R., 1995. Rudist distribution in the lower aptian shallow platform of la mola de xert, Eastern Iberian range, NE Spain. *Revista Mexicana de Ciencias Geologicas*, 12: 224-235.
- Masse, J.P., Arias, C., & Vilas, L., 1998a. Lower Cretaceous Rudist faunas of Southeast Spain, an overview. *Geobios*, 22: 193-210.
- Masse, J.P., Skelton, P.W., & Sliskovic, T., 1984. Glossomyophorus costatus nov.gen. nov.sp., new Aptian rudist (Caprotinidae) of central and eastern Mediterranean. *Geobios*, 17: 723-732.
- Masse, J.P., 1995. Lower Cretaceous rudist biostratigraphy of Southern France, a reference for mesogeal correlatios. *Revista Mexicana de Ciencias Geologicas*, 12: 236-256.
- Masse, J.P., 1996. Lower Cretaceous rudist biostratigraphy of southern France. A reference for Mesogeal correlations. *Rev. Mex. Cienc. Geol.*, 12 (2): 236-256.
- Masse, J.P., Borgomano, J., & Al Maskiry, S., 1997. Stratigraphy and tectono-sedimentary evolution of a late Aptian-Albian carbonate margin: the northeastern Jebel Akhdar (Sultanate of Oman). *Sedimentary Geology*, 113: 269-280.
- Masse, J.P., Özer, S., & Fenerci, M., 1999. Barremian-Aptian rudist faunas from the Western Black Sea region, Turkey. *Erlanger geologische Abhandlungen, Fifth International Congress on Rudists, Abstracts and field trip guides*, 3, p. 34.
- Masse, J.P., Fenerci-Masse, M., Korbar, T., & Velic, I., 2004. Lower Aptian Rudist Faunas (Bivalvia, Hippuritoidea) from Croatia. *Geologia Croatica*, 57: 117-137.
- Masse, J.P., & Gallo Maresca, M., 1997. Late Aptian Radiolitidae (rudist bivalves) from the Mediterranean and Southwest Asiatic regions: taxonomic, biostratigraphic and palaeobiogeographic aspects. *Palaeogeography, Palaeoclimatology, Palaeoecology*, 128: 101- 110.
- Masse, J.P., Gallo Maresca, M., & Luperto Sinni, E., 1998b. Albian rudist faunas from southern Italy: taxonomic, biostratigraphic, and palaeobiogeographic aspects. *Geobios*, 31: 47-59.
- Masse, J.P., Fenerci-Masse, M., & Özer, S., 2002. Late Aptian rudist faunas from the Zonguldak region, Western Black Sea, Turkey (taxonomy, biostratigraphy, palaeoenvironment and palaeobiogeography). *Cretaceous Research*, 23: 523-536.
- Masse, J.P., Fenerci-Masse, M., Vilas, L., & Arias, C., 2007. Late Aptian-Albian primitive Radiolitidae (Bivalves, Hippuritoidea) from Spain and SW France. *Cretaceous Research*, 28: 697-718.
- Masse, J.P., Fenerci-Masse, M., Isintek, I., & Gunor, T., 2010. Albian rudist fauna from the Karaburun Peninsula, Izmir Region, Western Turkey. *Turkish Journal of Earth Sciences*, 19: 671-683.
- Masse, J.P., Gourrat, C., Orbette, D., & Schmuck, D., 1998c. Hauterivian rudist faunas of southern Jura (France). *Geobios, Memoire Special*, 22: 225-233.
- Matheron P., 1842. Catalogue méthodique et descriptif des corps organisés fossiles du département des Bouches-du-Rhône et lieux circonvoisins. *Répertoire des Travaux de la Société de Statistique de Marseille*, 6, 269 p.
- Moor, R.C., 1969. Treatise on Invertebrate Palaeontology, Part N, Mollusca 6, Bivalvia. *The Geological Society of America and The University of Kansas Press*, 2: 779-781.
- Paquier, V., 1905. Les rudistes Urgoniens II. Série inverse. *Mémoires de la Société géologique de France, Paléontologie*, 29, 13: 47-102.
- Prosorovsky, V.A., 1990. The Urgonian facies of Central Asia. *Cretaceous Research*, 11: 253-260.
- Raisossadat, S.N., & Skelton, P.W., 2005. First record of rudist fauna from the Qayen area, Eastern Iran. *7th International Cretaceous Symposium*, Neuchatel, Switzerland.

- Rey, J., 1972. Recherches géologiques sur le Crétacé inférieur de l'Estremadura (Portugal). *Serviços Geológicos de Portugal*, 21: 1-477.
- Rey, J., Bilotte, M., & Peybernès, B., 1977. Analyse biostratigraphique et paléontologique de l'Albien marin d'Estremadura (Portugal). *Geobios*, 10: 369-393.
- Rey, J., 1979. Bioconstructed formations of the Early Cretaceous of Estremadura (Portugal). *Geobios, Memoire Special*, 3: 89-99.
- Sano, S., 1995. Litho- and biofacies of Early Cretaceous rudist-bearing carbonate sediments in northeastern Japan. *Sedimentary Geology*, 99: 179-189.
- Schöllhorn, E., 1997. Biofacies with corals and rudists on an Aptian carbonate ramp of the Southern Pyrenees in the Segre Valley. *Boletin de la Real Sociedad Española de Historia Natural, Sección geológica*, 92: 241-247.
- Scott, R.W., Wan, X., Sha, J., & Wen, Sh.X., 2010. Rudists of Tibet and the Tarim basin, China: significance to Requieniidae phylogeny. *Journal of Paleontology*, 84: 444-465.
- Skelton, P.W., 1982. Aptian and Barremian Rudist Bivalves of the New World: Some Old World Similarities. *Cretaceous Research*, 3: 145-153.
- Skelton, P.W., Raisossadat, S.N., Upadhyay, R., & Bernoulli, D., 2005. 'Yasin-type' rudist fauna from Eastern Iran and Northern Ladakh. *7th Internatinoal Congress on Rudists*, Austin, Texas, USA.
- Skelton, P.W., & Smith, A.B., 2000. A preliminary phylogeny for rudist bivalves: sifting clades from grades. *Geological Society of London, Special Publication*, 177: 97-127.
- Steuber, T., & Bachmann, M., 2002. Upper Aptian- Albian Rudist bivalves from northern Sinai, Egypt. *Palaeontology*, 45: 725-749.
- <http://www.paleodb.org>
- <http://www.paleotax.de>
- <http://www.ucmp.berkeley.edu>